

# Construction d'une extension régulière de $\mathbb{Q}(T)$ de groupe de Galois $M_{24}$

Louis Granboulan

## TABLE DES MATIÈRES

- 1. Introduction
  - 2. Preuve d'existence
  - 3. Description d'un revêtement
  - 4. Preuve de la validité des calculs
- Remerciements  
Bibliographie

---

Matzat a prouvé que le groupe de Mathieu de degré 24 est groupe de Galois sur l'extension transcendante  $\mathbb{Q}(T)$ . Il utilise pour cela une construction dite *non rigide* et prouve l'existence d'un point rationnel dans un espace de Hurwitz adéquat. Nous donnons ici une telle extension explicitement. Nous en déduisons aussi l'existence d'une extension régulière de  $\mathbb{K}(T)$  de groupe de Galois  $M_{23}$  pour tout  $\mathbb{K}$  tel que l'équation  $x^2 + y^2 + z^2 = 0$  ait une solution non triviale. Pour obtenir ces résultats, il a fallu remplacer les outils habituels du calcul formel par des constructions numériques et retrouver ensuite les objets algébriques en paramétrisant certaines courbes de genre 0. Cela nous permet d'illustrer la puissance des techniques de calcul de revêtements développées dans [Couveignes 1994; Couveignes et Granboulan 1994].

Matzat has proved that the Mathieu group of degree 24 is a Galois group over the transcendent extension  $\mathbb{Q}(T)$ . He does this by using a construction called *nonrigid*, proving the existence of a rational point in an appropriate Hurwitz space. Here we perform such a construction explicitly. We also deduce that, for any  $\mathbb{K}$  such that the equation  $x^2 + y^2 + z^2 = 0$  has a nontrivial solution, there is a regular extension of  $\mathbb{K}(T)$  with Galois group  $M_{23}$ . To achieve this, we had to replace the usual tools of symbolic calculation by numerical constructions, and then to recover the algebraic objects by parametrizing certain curves of genus 0. This allows us to illustrate the power of covering map techniques developed in [Couveignes 1994; Couveignes et Granboulan 1994].

---

## 1. INTRODUCTION

Le groupe de Mathieu  $M_{23}$  est le seul groupe sporadique simple pour lequel on ignore si la propriété inverse de Galois est satisfaite [Serre 1992]. Quant au groupe  $M_{24}$ , Matzat [1989] a prouvé à partir de calculs dus à F. Häfner l'existence d'une extension

finie de  $\mathbb{Q}(T)$ , galoisienne et régulière, de groupe de Galois  $M_{24}$  et ramifiée au dessus de 4 points. ( $T$  est un paramètre formel transcendant sur  $\mathbb{C}$ .) Cependant, aucun modèle explicite n'avait été calculé jusqu'à ce jour. Or cette extension contient un corps de genre 0 et de degré 24 correspondant au groupe  $M_{23}$  vu comme le stabilisateur d'un point dans  $M_{24}$ . Un calcul explicite était nécessaire pour déterminer la classe d'isomorphisme sur  $\mathbb{Q}$  de ce sous-corps. On trouve qu'il est associé à la conique d'équation  $x^2 + y^2 + z^2 = 0$ . On obtient alors une extension régulière de  $\mathbb{K}(T)$  et de groupe de Galois  $M_{23}$  pour tout corps de nombres  $\mathbb{K}$  tel que la conique ci-dessus ait des points  $\mathbb{K}$ -rationnels.

Dans la section suivante, nous exprimons les résultats de [Malle et Matzat 1993] selon la terminologie développée dans [Fried et Völklein 1991]. Les résultats de nos calculs sont présentés dans la troisième section, la preuve de leur validité est dans la quatrième section.

Conformément à [Todd 1970] nous faisons agir les permutations à droite. Ainsi le produit de  $(1, 2)$  et de  $(2, 3)$  est  $(1, 2)(2, 3) = (1, 3, 2)$ . Par souci de simplicité, on identifie  $\mathbb{C}$  à un ouvert de  $\mathbb{P}_1(\mathbb{C})$ .

## 2. PREUVE D'EXISTENCE

Dans cette section, nous présentons la preuve de Matzat de l'existence d'une extension régulière de  $\mathbb{Q}(T)$  de groupe de Galois  $M_{24}$ .

On trouve dans [Todd 1970] une définition point trop ineffective du groupe de Mathieu  $M_{24}$  comme le sous-groupe de  $\mathfrak{S}_{24}$  engendré par les dix permutations suivantes:

$$\begin{aligned} A &= (6, 17)(8, 20)(9, 10)(11, 15)(12, 18)(13, 23)(14, 21)(22, 24) \\ B &= (6, 12)(8, 13)(9, 14)(10, 21)(11, 24)(15, 22)(17, 18)(20, 23) \\ C &= (6, 22)(8, 10)(9, 20)(11, 18)(12, 15)(13, 21)(14, 23)(17, 24) \\ D &= (6, 10)(8, 22)(9, 17)(11, 23)(12, 21)(13, 15)(14, 18)(20, 24) \\ T &= (7, 19, 16)(8, 20, 17)(9, 14, 12)(10, 11, 23)(13, 22, 21)(15, 18, 24) \\ G &= (5, 6)(7, 24)(8, 20)(9, 14)(10, 23)(13, 21)(15, 16)(18, 19) \\ H &= (4, 5)(8, 20)(11, 23)(12, 14)(13, 15)(16, 19)(18, 21)(22, 24) \\ I &= (3, 4)(8, 17)(9, 12)(10, 13)(11, 21)(16, 19)(18, 24)(22, 23) \\ J &= (2, 3)(7, 19)(8, 10)(9, 14)(11, 17)(13, 21)(18, 24)(20, 23) \\ K &= (1, 2)(8, 12)(9, 17)(11, 23)(14, 20)(16, 19)(18, 24)(21, 22) \end{aligned}$$

Matzat et Malle remarquent que les classes  $12B$  et  $2A$  (selon les notations de l'Atlas des groupes finis [Conway et al. 1985, pp. 94–96]) sont rationnelles et que le quadruplet  $(12B, 2A, 2A, 2A)$  est non-rigide. Nous étudierons la famille de classes de conjugaison  $(12B, 2A, 2A, 2A)$ .

Suivant les notations de [Serre 1992, p. 70], qui sont proches de celles de [Matzat 1993], on note  $\bar{\Sigma}$  l'ensemble des quadruplets  $(\sigma_a, \sigma_b, \sigma_c, \sigma_d) \in (12B, 2A, 2A, 2A)$  tels que  $\sigma_a \sigma_b \sigma_c \sigma_d = 1$ . On note  $\Sigma$  l'ensemble des  $(\sigma_a, \sigma_b, \sigma_c, \sigma_d) \in \bar{\Sigma}$  tels que  $\sigma_a, \sigma_b, \sigma_c, \sigma_d$  engendrent le groupe  $M_{24}$ .

Selon la formule dans [Serre 1992], on trouve:

$$|\bar{\Sigma}| = \frac{|M_{24}|^3}{|Z(12B)||Z(2A)|^3} \sum_x \frac{\chi(12B)\chi(2A)^3}{\chi(1)^2}$$

Le tableau 1, extrait de l'Atlas, nous donne donc  $|\bar{\Sigma}| = 180|M_{24}|$ .

$M_{24}$  n'a pas de centre, l'action de  $\text{Inn}(M_{24})$  sur  $\Sigma$  est donc libre et on peut définir une relation d'équivalence sur les quadruplets de  $\Sigma$  et sur ceux de  $\bar{\Sigma}$ . On a donc  $|\bar{\Sigma}/\text{Inn}(M_{24})| = 180$ . Par ailleurs Matzat et Malle montrent que  $|\Sigma/\text{Inn}(M_{24})| = 144$ . Le groupe de tresses à quatre brins de Hurwitz  $H_4$  agit transitivement sur ces 144 classes de quadruplets.

Comme  $M_{24}$  n'a pas de centre, on en déduit, en appliquant par exemple des résultats de Fried [Debès et Fried 1994, § 4, théorème 4.3] l'existence d'une famille de revêtements (famille de Hurwitz)

$$\mathcal{F} : \mathcal{T} \rightarrow \mathcal{H} \times \mathbb{P}_1(\mathbb{C})$$

avec les définitions et propriétés suivantes:

- $\mathcal{F}$  est un morphisme fini de variétés quasi-projectives, définies sur  $\mathbb{Q}$ .
- $\mathcal{H}$  est irréductible et la fibre générique  $\mathcal{F}^{-1}(h \times \mathbb{P}_1(\mathbb{C}))$  est irréductible. La restriction de  $\mathcal{F}$  à cette fibre est un revêtement galoisien de  $\mathbb{P}_1(\mathbb{C})$  de groupe de Galois  $M_{24}$ . On note ce revêtement  $\mathcal{R}_h$ .
- Soit  $\mathcal{S} = \mathbb{P}_1(\mathbb{C})^4 - \mathcal{D}$ , où  $\mathcal{D}$  est la variété discriminant. Il existe un morphisme  $\Psi$  de  $\mathcal{H}$  dans  $\mathcal{S}$ , de degré 144, tel que pour  $h$  un point de  $\mathcal{H}$ , le revêtement  $\mathcal{R}_h$  est ramifié au dessus de

classe	ordre de $Z(\cdot)$	$\chi_1$	$\chi_2$	$\chi_3$	$\chi_4$	$\chi_8$	$\chi_{10}$	$\chi_{11}$	$\chi_{12}$	$\chi_{13}$	$\chi_{15}$	$\chi_{16}$	$\chi_{18}$
1A	244823040	1	23	45	45	253	770	770	990	990	1035	1035	1771
2A	21504	1	7	-3	-3	13	-14	-14	-18	-18	-21	-21	-21
12B	12	1	-1	1	1	1	1	1	1	1	-1	-1	-1

TABLEAU 1. Table partielle de caractères.

$\Psi(h) = (a, b, c, d)$ . La ramification en  $a$  est dans la classe 12B. Celles en  $b, c, d$  sont dans la classe 2A.

- Un point  $h$  de  $\mathcal{H}$  est défini sur un corps de nombres  $\mathbb{K}$  si et seulement si le revêtement associé  $\mathcal{R}_h$  ainsi que tous ses automorphismes peuvent être définis sur  $\mathbb{K}$ .
- La variété  $\mathcal{H}$  est birationnellement équivalente à  $\mathbb{C} \times \mathbb{P}_1(\mathbb{C}) \times \mathbb{P}_1(\mathbb{C}) \times \mathbb{P}_1(\mathbb{C})$ , où  $\mathbb{C}$  est obtenue par restriction du revêtement  $\Psi$  à la sous-variété  $\mathcal{D}$  de dimension 1 de  $\mathcal{S}$  formée de l'adhérence des points de la forme  $(\infty, -1, 1, \lambda)$  avec  $\lambda \in \mathbb{C}$ .

Dans le cas qui nous intéresse, le genre de  $\mathcal{C}$  est 1. On le calcule grâce à la formule de Hurwitz en regardant l'action du groupe de tresses sur les 144 classes de quadruplets. Il est malaisé de prouver l'existence de points rationnels sur une courbe de genre 1, surtout quand on ne connaît ni son  $j$ -invariant ni sa classe d'isomorphismes !

Malle et Matzat [1993, théorème 6.8] remarquent que l'action naturelle de la permutation des second et troisième termes du quadruplet se relève en une action sur  $\mathcal{H}$ . Si l'on appelle  $\sigma$  l'application de  $\mathcal{S}$  dans  $\mathcal{S}$  définie par

$$\sigma(a, b, c, d) = (a, c, b, d),$$

il existe un automorphisme de  $\mathcal{H}$ , défini sur  $\mathbb{Q}$ , tel que le diagramme suivant commute:

$$\begin{array}{ccc} \mathcal{H} & \xrightarrow{\Sigma} & \mathcal{H} \\ \Psi \downarrow & & \downarrow \Psi \\ \mathcal{S} & \xrightarrow{\sigma} & \mathcal{S} \end{array}$$

On considère alors la variété  $\mathcal{H}^{(2,3)} = \mathcal{H}/\Sigma$  que l'on appelle espace de Hurwitz symétrisé en  $(2, 3)$  et de même on note  $\mathcal{S}^{(2,3)} = \mathcal{S}/\sigma$ . Un point de  $\mathcal{S}^{(2,3)}$

se note  $(a, \{b, c\}, d)$  avec  $(a, b, c, d) \in \mathbb{P}_1(\mathbb{C})^4$ . On obtient alors un revêtement

$$\Psi^{(2,3)} : \mathcal{H}^{(2,3)} \rightarrow \mathcal{S}^{(2,3)}.$$

La restriction de ce revêtement à la sous-variété  $\mathcal{D}^{(2,3)}$  de  $\mathcal{S}^{(2,3)}$  formée de l'adhérence des points de la forme  $(\infty, \{-1, 1\}, \lambda)$  donne un revêtement de  $\mathcal{D}^{(2,3)}$  par une courbe  $\mathcal{C}^{(2,3)}$ , ramifié au dessus de trois points. La courbe  $\mathcal{D}^{(2,3)}$  est isomorphe à  $\mathbb{P}_1$  sur  $\mathbb{Q}$ . La courbe  $\mathcal{C}^{(2,3)}$  est un quotient de degré 2 de  $\mathcal{C}$ . La monodromie de  $\Psi^{(2,3)}$  est donnée par l'action de  $H_4$  sur les quadruplets et on peut à nouveau calculer le genre de  $\mathcal{C}^{(2,3)}$  par la formule de Hurwitz. Cette fois, le genre est 0 et on trouve même un diviseur rationnel de degré impair parmi les points de ramifications, ce qui prouve que  $\mathcal{C}^{(2,3)}$  est elle aussi isomorphe sur  $\mathbb{Q}$  à la droite  $\mathbb{P}_1$  et en particulier qu'elle a une infinité de points rationnels. Ces points correspondent à des revêtements galoisiens de  $\mathbb{P}_1$ , de groupe de Galois  $M_{24}$ , définis sur  $\mathbb{Q}$  ainsi que tous leurs automorphismes et ramifiés au dessus de quadruplets de la forme  $(a, b, c, d)$  avec  $a$  et  $d$  dans  $\mathbb{P}_1(\mathbb{Q})$  et la paire  $\{b, c\}$  définie sur  $\mathbb{Q}$  (i.e., stable par action de  $\text{Gal}(\bar{\mathbb{Q}}/\mathbb{Q})$ ).

### 3. DESCRIPTION D'UN REVÊTEMENT

Dans cette section, nous nous attachons à obtenir une description explicite d'un revêtement  $\mathcal{R}_h$  qui nous mènera à une extension explicite de  $\mathbb{Q}(T)$  de groupe de Galois  $M_{24}$ .

Si  $\mathcal{R}_h$  est un revêtement de la famille décrite plus haut, alors on peut le quotienter par le stabilisateur d'un point dans  $M_{24}$ . On obtient alors un revêtement de genre

$$\frac{1}{2}(2 - 2 \cdot 24 + 2(12 - 1) + 8(2 - 1) + 8(2 - 1) + 8(2 - 1)) = 0$$

et sans automorphismes car le centralisateur de  $M_{24}$  dans  $\mathfrak{S}_{24}$  est trivial. En fait,  $M_{24}$  est auto-normalisateur et n'a pas de centre.

Conformément à une gymnastique qui est désormais classique [Fried 1977; Matzat 1987], il nous suffit d'étudier ce revêtement de degré 24. On a en effet:

**Théorème 3.1.** *Soit  $\{r_1, \dots, r_n\}$  un ensemble fini et rationnel de points de  $\mathbb{P}_1(\mathbb{C})$ . Si un revêtement  $\chi$  de  $\mathbb{P}_1(\mathbb{C}) - \{r_1, \dots, r_n\}$ , fini de degré  $d$ , connexe, sans automorphismes, admet un modèle défini sur  $\mathbb{Q}$ , et si le groupe de Galois  $G$  de ce revêtement est autonormalisateur dans  $\mathfrak{S}_d$ , alors sa clôture galoisienne admet un modèle défini sur  $\mathbb{Q}$  ainsi que tous ses automorphismes.*

*Démonstration.* Appelons  $\mathbb{M}$  l'extension maximale de  $\mathbb{Q}(T)$  non ramifiée en dehors de  $\{r_1, \dots, r_n\}$  et soit  $\mathbb{K} \subset \mathbb{M}$  une extension géométrique de  $\mathbb{Q}(T)$  (non galoisienne) associée à un modèle rationnel du revêtement  $\chi$ . On note  $\mathbb{L}$  la clôture galoisienne de  $\mathbb{K}$  dans  $\mathbb{M}$ . On appelle  $G$  le groupe de Galois géométrique de  $\mathbb{L} \otimes \mathbb{Q}/\mathbb{Q}(T)$  et  $H$  le stabilisateur de  $\mathbb{K} \otimes \mathbb{Q}$  dans  $G$ . Puisque le revêtement  $\chi$  n'a pas d'automorphismes, le normalisateur de  $H$  dans  $G$  est  $H$ . Puisque  $\mathbb{K}$  est défini sur  $\mathbb{Q}$ , tout élément  $\sigma$  de  $\text{Gal}(\mathbb{Q}/\mathbb{Q})$  stabilise  $\mathbb{K}$  et donc l'automorphisme de  $G$  induit par  $\sigma$  stabilise  $H$ . En appliquant le lemme 3.2 qui suit, on en déduit que l'action de  $\text{Gal}(\mathbb{Q}/\mathbb{Q})$  sur  $G$  est intérieure et l'on peut alors invoquer la descente de Weil.  $\square$

**Lemme 3.2 (du stabilisateur stabilisé).** Soit  $G$  est un groupe de permutations transitif de degré  $d$  et  $H$  le stabilisateur d'un point. Si  $H$  est égal à son normalisateur dans  $G$ , alors tout automorphisme de  $G$  qui stabilise  $H$  provient de l'action de  $\mathfrak{S}_d$  sur  $G$  par conjugaison.

*Démonstration.* Soit  $\sigma$  un automorphisme de  $G$  qui stabilise  $H$ . Appelons  $H_i$  le stabilisateur de  $i$  pour tout  $i \in \{1, 2, \dots, d\}$ . On a par exemple  $H_1 = H$  et tous les  $H_i$  sont conjugués. Ainsi,  $\sigma$  induit une permutation des  $H_i$  que l'on représente par  $\Sigma \in \mathfrak{S}_d$  telle que  ${}^\sigma H_i = H_{\Sigma(i)}$ . Pour toute permutation  $p$

de  $G$  et pour tout couple  $(i, j) \in \{1, 2, \dots, d\}^2$  les conditions  $p(i) = j$  et  ${}^p H_j = H_i$  sont équivalentes. En faisant agir  $\sigma$  sur cette dernière identité on trouve que  $\sigma(p) = \Sigma^{-1}p$ .  $\square$

Ainsi, il nous suffit d'exhiber un modèle rationnel pour un revêtement de genre 0, de degré 24 et de groupe de Galois  $M_{24}$ . Ce revêtement se présentera sous la forme d'une conique définie sur  $\mathbb{Q}$  et d'une application rationnelle sur cette conique. On ne se préoccupe pas tout de suite de la classe d'isomorphisme de courbes de genre 0 associée à ce revêtement. On le cherche d'abord sous la forme d'une fonction rationnelle de  $\mathbb{P}_1(\mathbb{C})$  dans  $\mathbb{P}_1(\mathbb{C})$ . On n'attend pas d'une telle fonction qu'elle soit définie sur  $\mathbb{Q}$ , mais du moins sur une extension au plus quadratique de  $\mathbb{Q}$ . En effet, toute courbe définie sur  $\mathbb{Q}$  de genre 0 est isomorphe à  $\mathbb{P}_1(\mathbb{C})$  sur un corps quadratique. Quitte à composer à gauche cette fonction par une homographie rationnelle, on peut supposer qu'elle est ramifiée au dessus de  $(a, b, c, d) = (\infty, b, c, 0)$  avec  $\{b, c\}$  rationnelle. De même, en composant à droite par une homographie, on peut faire en sorte que les deux points au dessus de  $\infty$  correspondant aux deux cycles de la classe  $12B$  soient 0 et  $\infty$ . Étant donnés les types des permutations  $(\sigma_a, \sigma_b, \sigma_c, \sigma_d)$ , la fonction rationnelle recherchée est de la forme  $X \mapsto \varphi(X) = N(X)/X^{12}$ , où  $N$  est un polynôme de degré 24 qui se factorise en  $N(X) = P_0(X)^2 Q_0(X)$  avec  $P_0$  et  $Q_0$  polynômes de degré 8. De même, il existe des polynômes  $P_b, Q_b, P_c, Q_c$  tous de degré 8 tels que

$$\begin{aligned} N(X) &= P_b(X)^2 Q_b(X) + bX^{12} \\ &= P_c(X)^2 Q_c(X) + cX^{12}. \end{aligned} \quad (3.1)$$

On pourrait essayer de trouver une telle fonction à l'aide d'un système de calcul formel en choisissant comme inconnues les coefficients des  $P$  et des  $Q$  ainsi que  $b$  et  $c$ . C'est bien évidemment sans espoir, la solution étant un idéal de dimension 2 et de degré 144 à cause de la grave non rigidité du vecteur  $(12B, 2A, 2A, 2A)$ .

La méthode que nous utilisons est numérique. On observe d'abord que les points singuliers de l'application  $\Psi$  correspondent à des revêtements dégénérés ramifiés au dessus de trois points seulement. Étant donnée la monodromie  $(\sigma_a, \sigma_b, \sigma_c, \sigma_d)$  d'un revêtement non dégénéré de la famille, on obtient un revêtement dégénéré en «collant» deux ramifications pour obtenir par exemple le triplet  $(\sigma_a, \sigma_t = \sigma_b\sigma_c, \sigma_d)$ . Cela se justifie visuellement si on observe les dessins correspondants: on trace l'image réciproque d'une courbe passant par les quatre valeurs de ramification d'un revêtement régulier  $\varphi$ . Ce dessin permet de voir la monodromie du revêtement. Lorsqu'on rapproche l'une de l'autre les ramifications au dessus de  $b$  et de  $c$ , jusqu'à les confondre en  $t$ , l'action sur les drapeaux autour de  $t$  est  $\sigma_b\sigma_c$ . L'étude théorique de ce phénomène, dans un cadre plus général, a été faite dans [Matzat 1993].

Il se trouve que certains de ces revêtements «limites» sont si simples qu'on peut les calculer à la main. L'un d'eux correspond au dessin de la figure 1. Il est défini par la fonction rationnelle  $X \xrightarrow{\tilde{\varphi}} \tilde{N}(X)/X^{12}$  où

$$\tilde{N}(X) = \tilde{P}_0(X)^2 \tilde{Q}_0(X)^2 = \tilde{P}_t(X)^3 + 27X^{12}$$

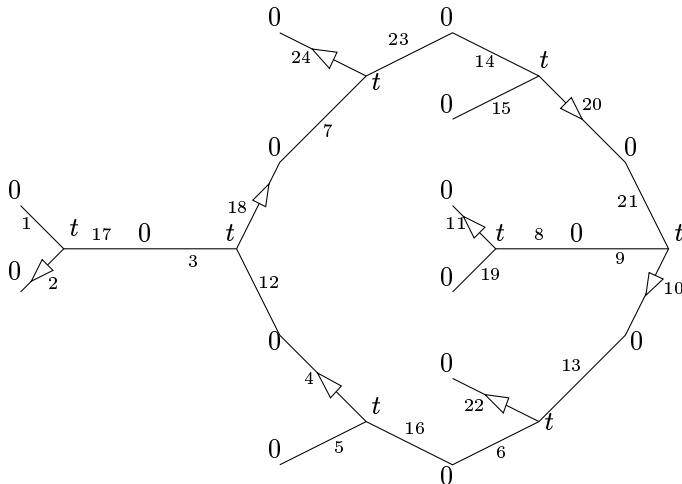


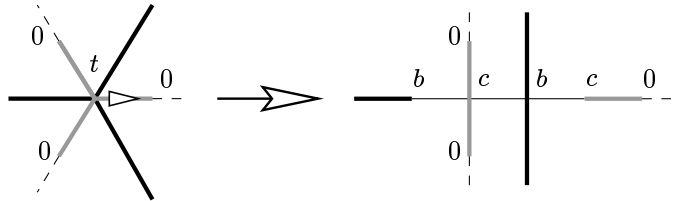
FIGURE 1. Dessin de  $\tilde{\varphi}^{-1}([0, t])$  pour un revêtement dégénéré, avec flèches indiquant la direction d'éclatement des singularités.

avec

$$\begin{aligned} \tilde{P}_0(X) &= (X^4 + X^3 - \frac{1}{2}X + \frac{1}{4})(X^2 + 2X - \frac{1}{2})(X^2 + \frac{1}{2}), \\ \tilde{Q}_0(X) &= X^8 + 6X^7 + 11X^6 + 9X^5 + \\ &\quad + \frac{15}{2}X^4 - \frac{9}{2}X^3 + \frac{11}{4}X^2 - \frac{3}{4}X + \frac{1}{16}, \\ \tilde{P}_t(X) &= X^8 + 4X^7 + 4X^6 + 2X^5 + \\ &\quad + \frac{1}{2}X^4 - X^3 + X^2 - \frac{1}{2}X + \frac{1}{16}. \end{aligned}$$

Ensuite, on les déforme numériquement pour obtenir, par éclatement des singularités, un revêtement générique correspondant à un point régulier de  $\Psi$ . Il est alors très facile de déformer ce dernier revêtement pour obtenir, toujours numériquement, n'importe quel revêtement dans la famille de Hurwitz.

L'éclatement de chaque singularité se fait comme sur la figure ci-dessous:



Les positions des flèches sur la figure 1 se déduisent facilement de l'égalité  $\sigma_t = \sigma_b\sigma_c$ .

Après avoir obtenu suffisamment de valeurs numériques décrivant des revêtements de la famille de Hurwitz, il est possible, quoique non trivial, de deviner un point rationnel dans  $\mathcal{H}$ . Pour cela, on cherche une paramétrisation de  $\mathcal{H}$  puis on choisit une valeur rationnelle du paramètre. On se déplace alors vers ce point en calculant le revêtement grâce aux techniques de déformation numérique décrites plus haut.

On obtient alors le revêtement défini par les valeurs de  $b, c, P_0, Q_0, P_bP_c, Q_bQ_c$  donnés dans la page suivante.

#### 4. PREUVE DE LA VALIDITÉ DES CALCULS

Dans cette section, nous montrons d'abord que le revêtement calculé dans la section précédente et illustré par les figures 2 et 3 ci-après vérifie toutes

$$\left. \begin{aligned} b &= g - h\sqrt{13/23} \\ c &= g + h\sqrt{13/23} \end{aligned} \right\} \text{avec } \begin{cases} g = -23^{12}(23 \cdot 176732341 \cdot 31600167466685710063739272431190265485991)/(2^23^3) \\ h = 23^{12}(2^213^289^21031^357768053971^3) \end{cases}$$

$$P_0 = (37914193680139158016 - 302128730888608915440i)x^8 + (-487089564184489188256 - 964635068626232480384i)x^7 + (-705518709585926380450 - 569348221330342289928i)x^6 + (-665599278593112042824 - 297286720202456418804i)x^5 - 1658222119279762910881/3x^4 + (665599278593112042824 - 297286720202456418804i)x^3 + (-705518709585926380450 + 569348221330342289928i)x^2 + (487089564184489188256 - 964635068626232480384i)x + (37914193680139158016 + 302128730888608915440i)$$

$$Q_0 = (-295056701084944826384 + 75238283178486266880i)x^8 + (-1109162598452524669696 + 1743525953573752091776i)x^7 + (1320581620414055144000 + 4075299488337154160172i)x^6 + (4884408960401791122256 + 2036269774848408573216i)x^5 + 84671363110963879416371/12x^4 + (-4884408960401791122256 + 2036269774848408573216i)x^3 + (1320581620414055144000 - 4075299488337154160172i)x^2 + (1109162598452524669696 + 1743525953573752091776i)x + (-295056701084944826384 - 75238283178486266880i)$$

$$P_b(x)P_c(x) = (357967725601417517516686223527266942720 - 44921440075472002198172388834794283008i)x^{16} + (2235116583453296956016688287000795070464 - 2430234864613752372224755044490500741376i)x^{15} + (149377096159089589734977426061626003712 - 11290702718566151589167319244788699428640i)x^{14} + (-13820453300845488466791143803490890981600 - 15319753001105493958806923394239564713280i)x^{13} + (-26933069196708829089178196131144865076500 - 4702546515602435158302394566026289938432i)x^{12} + (-21430541752671632771288988599268601728384 + 8502965158111749055738233325412213316156i)x^{11} + (-3965039901729276622498310354810426462508 + 9662449483119962635831882222451644063435/2i)x^{10} + (927853660236419835122676127182363033121/2 + 4337760345220325366465524764482478447327i)x^9 - 693263665028263369422338051967567619800x^8 + (-927853660236419835122676127182363033121/2 + 4337760345220325366465524764482478447327i)x^7 + (-3965039901729276622498310354810426462508 - 9662449483119962635831882222451644063435/2i)x^6 + (21430541752671632771288988599268601728384 + 8502965158111749055738233325412213316156i)x^5 + (-26933069196708829089178196131144865076500 + 4702546515602435158302394566026289938432i)x^4 + (13820453300845488466791143803490890981600 - 15319753001105493958806923394239564713280i)x^3 + (149377096159089589734977426061626003712 + 11290702718566151589167319244788699428640i)x^2 + (-2235116583453296956016688287000795070464 - 2430234864613752372224755044490500741376i)x + (357967725601417517516686223527266942720 + 44921440075472002198172388834794283008i)$$

$$Q_b(x)Q_c(x) = (5934125110345811322945213316802097363278233856 + 1513178259727873639325414936176157075181649920i)x^{16} + (53824266652704740199580656828392346960907632640 - 20393864042342649773092277830169236135290657280i)x^{15} + (120609228422728549381241680324239993130448098560 - 165436177620307628596483336837213933522618075968i)x^{14} + (46950446994958343639037816131819832827931760512 - 402858725296133291194193759814462959110217198208i)x^{13} + (-213496964142166002356868949404200399503809864740 - 625332451177901202505615158295134616229378414720i)x^{12} + (-524214922042127468175247771548228365614875714672 - 653645622735496187583547193364930345423124263288i)x^{11} + (-350135251185023176677387479207555542294634800220 - 431751360750861966660635405726734101618880087024i)x^{10} + (-324269419013943757960326867935156652748817931600 - 92013835848019006794292775487125636393072852760i)x^9 + 234903732196633106010673506780481150431809056880x^8 + (324269419013943757960326867935156652748817931600 - 92013835848019006794292775487125636393072852760i)x^7 + (-350135251185023176677387479207555542294634800220 + 431751360750861966660635405726734101618880087024i)x^6 + (524214922042127468175247771548228365614875714672 - 653645622735496187583547193364930345423124263288i)x^5 + (-213496964142166002356868949404200399503809864740 + 625332451177901202505615158295134616229378414720i)x^4 + (-46950446994958343639037816131819832827931760512 - 402858725296133291194193759814462959110217198208i)x^3 + (120609228422728549381241680324239993130448098560 + 165436177620307628596483336837213933522618075968i)x^2 + (-53824266652704740199580656828392346960907632640 - 20393864042342649773092277830169236135290657280i)x + (5934125110345811322945213316802097363278233856 - 1513178259727873639325414936176157075181649920i)$$

Valeurs de  $b, c, P_0, Q_0, P_bP_c, Q_bQ_c$  qui définissent le revêtement cherché.

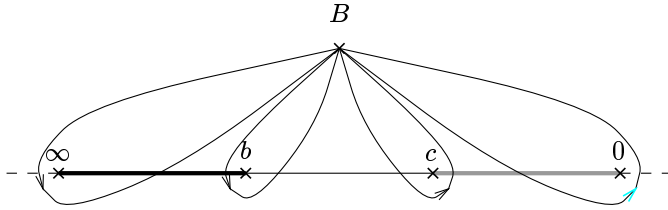
les propriétés demandées. Ce doit être un revêtement non ramifié hors de  $\{\infty, b, c, 0\}$ , de groupe de Galois  $M_{24}$  et de type  $(12B, 2A, 2A, 2A)$ . Nous réglons ensuite les problèmes liés à la descente sur  $\mathbb{Q}$ .

Les valeurs calculées pour  $P_0, Q_0, P_b, Q_b, P_c, Q_c$  vérifient la formule (3.1). On remarque que d'après (3.1) et la formule de Hurwitz, l'application  $\varphi$  ne peut être ramifiée en dehors de  $\{\infty, b, c, 0\}$ .

Pour calculer la monodromie de  $\varphi$  on choisit la base du groupe fondamental

$$\pi_1(B, \mathbb{P}_1(\mathbb{C}) - \{\infty, b, c, 0\})$$

représentée ci-dessous, où  $B$  est un point du demi-plan supérieur.



L'image réciproque de  $\mathbb{R}$  par  $\varphi(x) = P_0^2 Q_0/x^{12}$  est le graphe des figures 2 et 3, tracé sur la sphère. Les traits noirs gras figurent les composantes connexes de la préimage du segment  $(\infty, b)$ . De même, on utilise des lignes minces pour le segment  $(b, c)$ , des lignes grises pour le segment  $(c, 0)$  et des lignes pointillées pour le segment  $(0, \infty)$ . Les composantes connexes de la préimage du demi-plan supérieur (drapeaux) sont marquées d'un nombre entre 1 et 24. La monodromie se calcule en chaque point de ramification en tournant dans le sens positif.

On trouve que la monodromie – en tant qu'action sur les drapeaux – est donnée par les quatre permutations données sur le tableau 2.

**Proposition 4.1.**  $\sigma_\infty, \sigma_b, \sigma_c, \sigma_0$  sont éléments de  $M_{24}$ . Ces permutations engendrent le groupe.

$$\begin{aligned} \sigma_\infty &= (1, 17, 18, 24, 23, 20, 10, 6, 5, 4, 3, 2)(7, 12, 16, 22, 13, 9, 19, 11, 8, 21, 15, 14) \\ \sigma_b &= (1, 2)(4, 16)(8, 11)(9, 10)(12, 18)(13, 22)(15, 20)(23, 24) \\ \sigma_c &= (1, 17)(3, 12)(5, 16)(6, 13)(7, 23)(8, 19)(9, 21)(14, 15) \\ \sigma_0 &= (3, 17)(4, 12)(6, 16)(7, 18)(8, 9)(10, 13)(14, 23)(20, 21) \end{aligned}$$

**TABLEAU 2.** Monodromie des courbes de la figure ci-après.

*Démonstration.* Il s'agit d'exprimer ces permutations en fonction des générateurs exhibés dans [Todd 1970] et rappelés dans la section 2 ci-dessus. On construit une famille fortement génératrice (*strong generating set*) de  $M_{24}$  en utilisant l'algorithme de Sims Schreier avec Magma, ce qui nous donne l'ensemble  $\{A, B, C, D, T, G, H, I, J, K, l, m, n, o, p, q\}$  où:

$$\begin{aligned} l &= m^H, \\ m &= n^I, \\ n &= (o^J T)^{-1}, \\ o &= p^K, \\ p &= T(CA)^{GH IJK}, \\ q &= K^{J I H G D W} \text{ avec } W = B J^{I H G D (C G)^{T^{-1}}}. \end{aligned}$$

On exprime en fonction des éléments de la base ci-dessus les quatre permutations engendrant la monodromie, ce qui nous prouve que  $\sigma_\infty, \sigma_b, \sigma_c, \sigma_0 \in M_{24}$ :

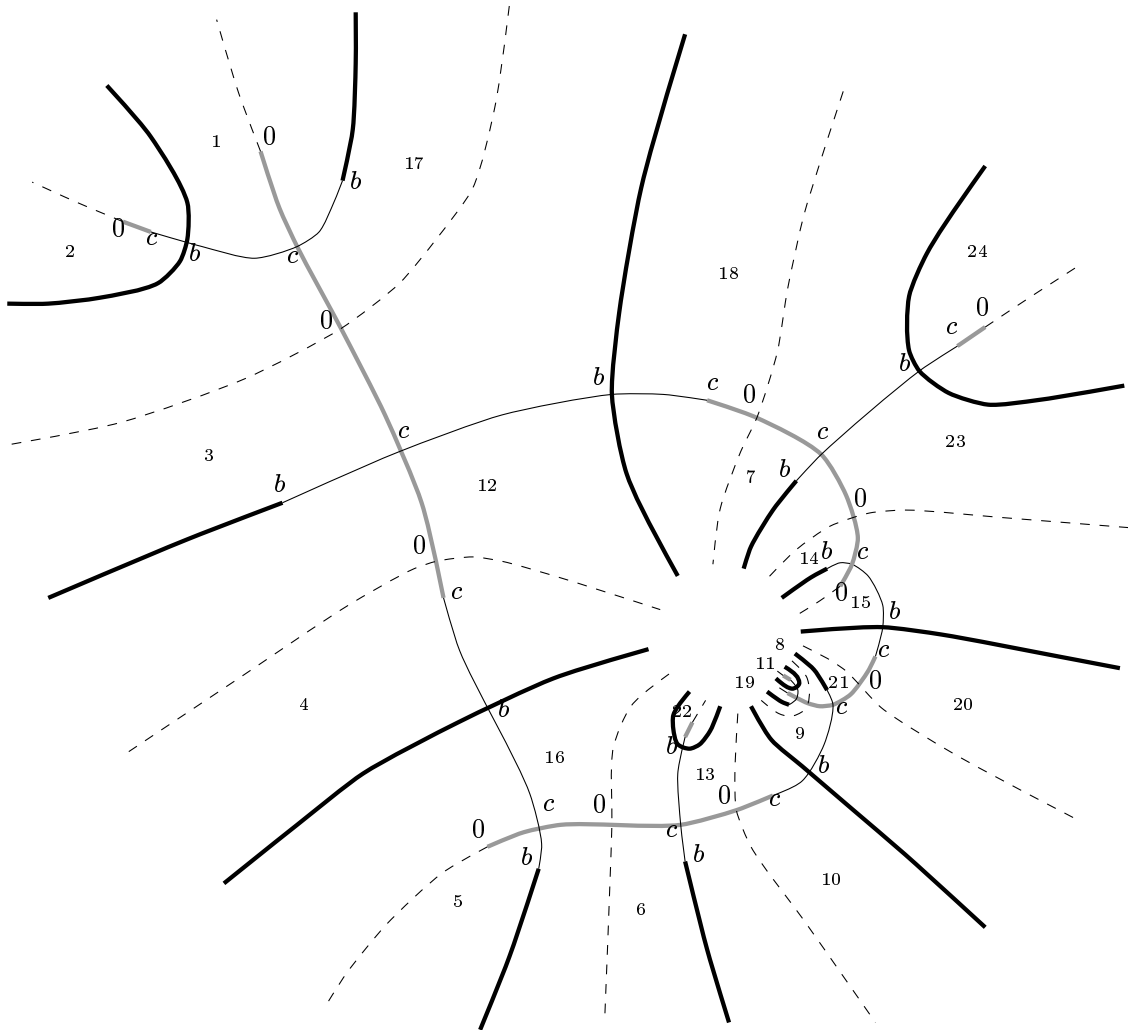
$$\begin{aligned} \sigma_\infty &= D o^{-1} q T o^{-1} q l^{-1} m^{-1} n^{-1} o^{-1} p^{-1}, \\ \sigma_b &= m K, \\ \sigma_c &= D C B q T^{-1} I q l^{-1} I o^{-1} q n^{-1} o^{-1} q o p, \\ \sigma_0 &= G C B T^{-1} n q l n q m^{-1} n q n o^{-1} p. \end{aligned}$$

De façon similaire, on exprime  $A, B, C, D, T, G, H, I, J, K$  en fonction de  $\sigma_\infty, \sigma_b, \sigma_c, \sigma_0$ .  $\square$

**Proposition 4.2.** On a  $\sigma_\infty \in 12B$  et  $\sigma_b, \sigma_c, \sigma_0 \in 2A$ .

*Démonstration.* Nous remarquons que l'ordre d'une permutation détermine l'ordre de la classe de conjugaison. Il y a deux classes d'ordre 2 et deux classes d'ordre 12, qui peuvent être différenciées à l'aide de leur décomposition en cycles:

$$\begin{aligned} (1)^8(2)^8 &\text{ pour } 2A, & (2)^{12} &\text{ pour } 2B, \\ (2)(4)(6)(12) &\text{ pour } 12A, & (12)^2 &\text{ pour } 12B. \end{aligned} \quad \square$$



**FIGURE 2.** Préimage  $\varphi^{-1}(\mathbb{R})$  de  $\mathbb{R}$  par  $\varphi(x)$ . Lignes noires grasses: composantes connexes de  $\varphi^{-1}((\infty, b))$ . Lignes minces:  $\varphi^{-1}((b, c))$ . Lignes grises:  $\varphi^{-1}((c, 0))$ . Lignes pointillées:  $\varphi^{-1}((0, \infty))$ .

Les deux propositions ci-dessus nous montrent que pour  $\mathbb{L} = \mathbb{C}(x, T)/(\varphi(x) - T)$ , l'extension  $\mathbb{L}/\mathbb{C}(T)$  est de groupe de Galois géométrique  $M_{24}$ .

**Remarque.** Pour calculer rigoureusement la monodromie d'un revêtement donné par un modèle algébrique (sans recourir à un *dessin*) on peut utiliser les méthodes données par Leila Schneps [1994]. Ces méthodes reposent sur des majorations de la dérivée qui rendent rigoureuse l'idée de *tourner* autour des points de ramification.

Il reste à voir que l'application  $\varphi$  ci-dessus conduit bien à une extension régulière de  $\mathbb{Q}(T)$ . C'est la

descente de Weil. On observe tout d'abord que  $\varphi$  n'est pas définie sur  $\mathbb{Q}$  mais que néanmoins la conjuguée  $\bar{\varphi}$  de  $\varphi$  définit un revêtement isomorphe. En effet,

$$\bar{\varphi}(x) = \varphi\left(-\frac{1}{x}\right).$$

On va donc considérer la courbe  $\mathcal{E}$  d'équation

$$\Gamma(u, v) = u^2 + v^2 + 1 = 0$$

et le morphisme  $\varphi : \mathcal{E} \rightarrow \mathbb{P}_1(\mathbb{C})$  défini par  $\varphi(u, v) = \varphi(u + iv)$ , défini sur  $\mathbb{Q}$  et isomorphe sur  $\mathbb{C}$  à  $\varphi$ .



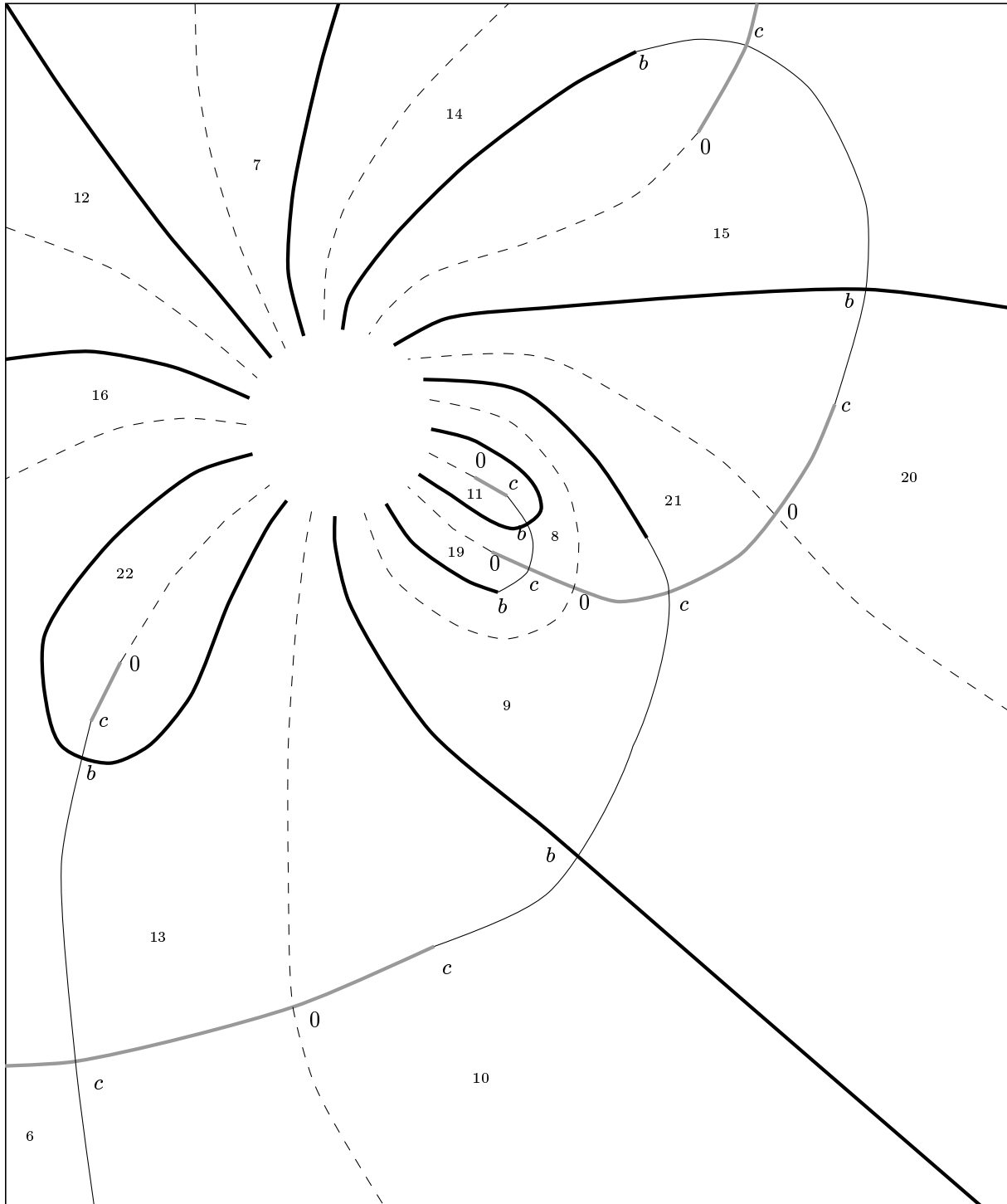


FIGURE 3. Agrandissement de la figure précédente.

Pratiquement, on écrit  $x = u + iv$  et on calcule  $\varphi(u + iv) \bmod \Gamma$ . On pose

$$\begin{aligned} p_0(u, v) &= \frac{P_0}{x^4}(u + iv) \bmod (u^2 + v^2 + 1) \\ &= (4834059694217742647040u^3 + 7717080549009859843072u^2 + 4694422732430240483232u + 2523843577657377798376)v \\ &\quad + 606627098882226528256u^4 - 3896716513475913506048u^3 - 2215447739461478993544u^2 - 4253735942293159215184u \\ &\quad - 5663849214714486245485/3 \end{aligned}$$

et

$$\begin{aligned} q_0(u, v) &= \frac{Q_0}{x^4}(u + iv) \bmod (u^2 + v^2 + 1) \\ &= (-1203812530855780270080u^3 - 13948207628590016734208u^2 - 16903104218776506775728u - 7559591456844321329984)v \\ &\quad - 4720907217359117222144u^4 - 8873300787620197357568u^3 + 561419264297103353856u^2 + 3113842330088434226336u \\ &\quad + 109283961174862527039155/12. \end{aligned}$$

Notre revêtement est entièrement défini par les huit lignes ci-dessus. Plus précisément,  $\varphi$  est donnée comme l'application de  $\mathcal{E}$  dans  $\mathbb{P}_1$  définie par

$$\varphi(u, v) = p_0(u, v)^2 q_0(u, v),$$

et elle vérifie  $\varphi = p_b(u, v)^2 q_b(u, v) + b = p_c(u, v)^2 q_c(u, v) + c$ , avec

$$\begin{aligned} p_b(u, v)p_c(u, v) &= \frac{P_b P_c}{x^8}(u + iv) \bmod (u^2 + v^2 + 1) \\ &= (11499888659320832562732131541707336450048u^7 + 311070062670560303644768645694784094896128u^6 \\ &\quad + 739854806977214950550806628979037768108032u^5 + 879069674373576186237782355734146189445120u^4 \\ &\quad + 805033148649948184591254326936464487729152u^3 + 416301624263097976432248536993995882175520u^2 \\ &\quad + 154502648822580927099933981242128133052394u + 9818524724774343817655840697670747382346)v \\ &\quad + 91639737753962884484271673222980337336320u^8 + 286094922682022010370136100736101769019392u^7 \\ &\quad + 192839609662107502711581901713904738910208u^6 + 58411609066482887210421574576469584372736u^5 \\ &\quad - 302039233723615059206953713667676323197248u^4 - 473929408708423341768088572789695405199104u^3 \\ &\quad - 418501756854040425565317273873595926606320u^2 - 234568297695902104076289057485327026166687u \\ &\quad - 61474792218383460578272023724700364804952 \end{aligned}$$

et

$$\begin{aligned} q_b(u, v)q_c(u, v) &= \frac{Q_b Q_c}{x^8}(u + iv) \bmod (u^2 + v^2 + 1) \\ &= (-387373634490335651667306223661096211246502379520u^7 + 2610414597419859170955811562261662225317204131840u^6 \\ &\quad + 10006854915964184752673974222090047428577803292672u^5 + 16154497456251089281908964766889892473173455507456u^4 \\ &\quad + 20351126064989647687972709700515660473088547510272u^3 + 15876679863023615678437457118314677116524158412736u^2 \\ &\quad + 8690688331714703051616056292335762025379058178752u + 2337824095843982270690252012993376354123409943072)v \\ &\quad + 1519136028248527698673974609101336924999227867136u^8 + 6889506131546206745546324074034220410996176977920u^7 \\ &\quad + 10757262675551682557747416758954033410347134042112u^6 + 13559050034044528801155277245778120369737126047744u^5 \\ &\quad + 10061454537617944326231766382036504104711094459840u^4 + 3712616368564244902512564037666909247819919558784u^3 \\ &\quad - 94776200734389042026258963349454577293558521776u^2 - 2570784167193202525787633008243992313454865689152u \\ &\quad - 639273991391596530649465563160946552177627608208. \end{aligned}$$

En écrivant  $T = \varphi(u, v) = A(u) + vB(u) \pmod{\Gamma}$ , on exprime  $v = (T - A(u))/B(u)$  dans  $\Gamma$ :

$$u^2 + \left(\frac{T - A(u)}{B(u)}\right)^2 + 1.$$

Cela nous donne le polynôme minimal de  $u$  sur  $\mathbb{Q}(T)$ ,  $P(u)$  de degré 24 en  $u$  et de groupe de Galois géométrique  $M_{24}$ :

$$P(u) = (1 + u^2)B(u)^2 + (T - A(u))^2.$$

Voyons maintenant ce que nous pouvons en déduire pour  $M_{23}$ . Posons  $\mathbb{L} = \mathbb{Q}(T)[u]/P(u)$  et  $\bar{\mathbb{L}}$  une clôture galoisienne de  $\mathbb{L}/\mathbb{Q}(T)$ . Le théorème 3.1 nous permet d'affirmer que  $\bar{\mathbb{L}}$  est une extension régulière de  $\mathbb{Q}(T)$ . Le corps de fonctions  $\mathbb{L}$  est associé à la courbe  $\mathcal{E}$  et  $\bar{\mathbb{L}}$  à une courbe  $\bar{\mathcal{E}}$ . On a la tour d'extensions et la tour de revêtements associée:

$$M_{24} \left\{ \begin{array}{ccc} \bar{\mathbb{L}} & & \bar{\mathcal{E}} \\ \downarrow M_{23} & & \downarrow \\ \mathbb{L} & & \mathcal{E} \\ \downarrow & & \downarrow P \\ \mathbb{Q}(T) & & \mathbb{P}_1(\mathbb{C}) \end{array} \right.$$

Le revêtement  $\bar{\mathcal{E}} \rightarrow \mathcal{E}$  est galoisien de groupe de Galois  $M_{23}$ . Il nous permet d'obtenir une extension régulière de  $\mathbb{K}(T)$  de groupe de Galois  $M_{23}$  pour tout corps de nombre  $\mathbb{K}$  tel que la courbe  $\mathcal{E}$  de genre 0 ait des points  $\mathbb{K}$ -rationnels.

**REMERCIEMENTS**

Nous remercions G. Malle et R. Dentzer pour nous avoir suggéré ce problème. Nous remercions tout particulièrement J.-M. Couveignes pour ses suggestions et son aide dans la rédaction de cet article.

**BIBLIOGRAPHIE**

[Conway et al. 1985] J. H. Conway, R. T. Curtis, S. P. Norton, R. A. Parker et R. A. Wilson, *Atlas of Finite Groups: Maximal Subgroups and Ordinary Characters for Simple Groups*, Oxford University Press, Oxford, 1985.

[Couveignes 1994] Jean-Marc Couveignes, "Calcul et rationalité de fonctions de Belyï en genre 0", *Ann. Inst. Fourier (Grenoble)* **44** (1994), 1–38.

[Couveignes et Granboulan 1994] J.-M. Couveignes et L. Granboulan, "Dessins from a geometric point of view", pp. 79–113 dans *The Grothendieck theory of dessins d'enfants*: voir [Schneps 1994].

[Debès et Fried 1994] P. Debès et M. D. Fried, "Nonrigid construction in Galois theory", *Pacific J. Math.* **163** (1994), 81–122.

[Fried 1977] M. D. Fried, "Fields of definition of function fields and Hurwitz families: Groups as Galois groups", *Comm. Algebra* **5** (1977), 17–82.

[Fried et Völklein 1991] M. D. Fried et H. Völklein, "The inverse Galois problem and rational points on moduli spaces", *Mathematische Annalen* **290** (1991), 771–800.

[Matzat 1987] B. Heinrich Matzat, *Konstruktive Galois-theorie*, Lecture Notes in Math. **1284**, Springer, Berlin, 1987.

[Matzat 1989] B. Heinrich Matzat, "Rationality criteria for Galois extensions", pp. 361–383 in *Galois Groups over  $\mathbb{Q}$*  (édité par Y. Ihara et al.), MSRI Publications **16**, Springer, New York, 1989.

[Matzat 1993] B. Heinrich Matzat, "Braids and Decomposition Groups", pp. 179–189 in *Séminaire de Théorie des Nombres, Paris, 1991–92* (édité by S. David), Progress in Math. **116**, Birkhäuser, Boston, 1993.

[Malle et Matzat 1993] G. Malle et B. Heinrich Matzat, "Action of braids", chapitre 3 dans *Inverse Galois Theory*, preprint, University of Heidelberg, 1993.

[Schneps 1994] Leila Schneps, "Dessins d'enfants on the Riemann sphere", pp. 47–77 dans *The Grothendieck theory of dessins d'enfants*, Luminy, 1993 (édité par Leila Schneps), London Math. Soc. Lecture Notes Ser. **200**, Cambridge University Press, Cambridge, 1994.

[Serre 1992] Jean-Pierre Serre, *Topics in Galois Theory* (notes écrites par Henri Da[r]mon), Research Notes Math. **1**, Jones and Bartlett, Boston, 1992.

[Todd 1970] J. A. Todd, "Abstract definitions for the Mathieu groups", *Quart. J. Math. Oxford* **21** (1970), 421–424.

Louis Granboulan, Laboratoire d'Informatique, URA 1327 CNRS, DMI, École Normale Supérieure  
(Louis.Granboulan@ens.fr)

Received November 16, 1994; accepted in revised form November 4, 1995